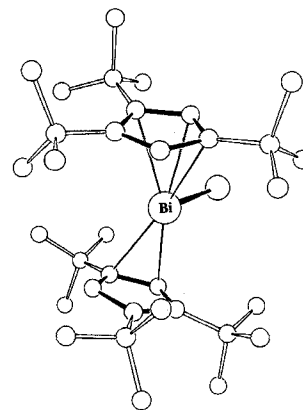


1335

Sitzmann\*, H., Wolmershäuser, G.

Wismutverbindungen mit voluminösen, mehrfach alkylierten Cyclopentadienyl-Liganden

Bismuth Compounds with Crowded Multiply Alkylated Cyclopentadienyl Ligands

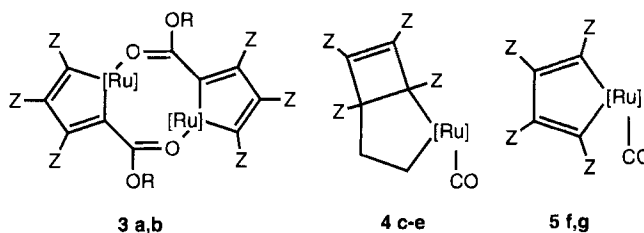


1343

Lindner\*, E., Kühbauch, H., Mayer, H. A.

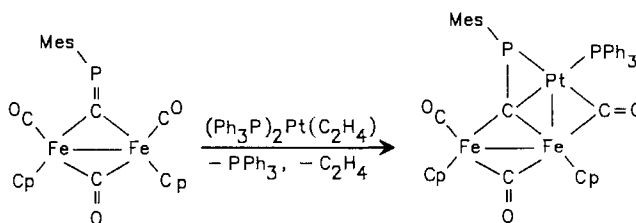
Darstellung, Eigenschaften und Reaktionen Metallenthaltender Heterocyclen, XC. – Reaktivität unterschiedlich aktivierter Alkine gegenüber Ruthenium und Osmium-Komplexen des Typs  $(\eta^2-C_2H_4)M(CO)_4$

Preparation, Properties, and Reactions of Metal-Containing Heterocycles, XC. – Reactivity of Differently Activated Alkynes toward Ruthenium and Osmium Complexes of the Type  $(\eta^2-C_2H_4)M(CO)_4$



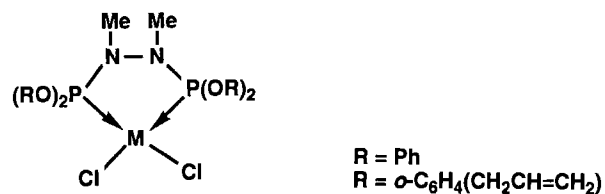
1349

Weber\*, L., Schumann, I., Stammler, H.-G., Neumann, B.

Übergangsmetallsubstituierte Acylphosphane und Phosphaalkene, XXI. – Isophosphaalkyne als  $\mu_3$ -Liganden in ÜbergangsmetallkomplexenTransition-Metal-Substituted Acylphosphanes and Phosphaalkenes, XXI. – Isophosphaalkynes as  $\mu_3$ -Ligands in Transition Metal Complexes

1355

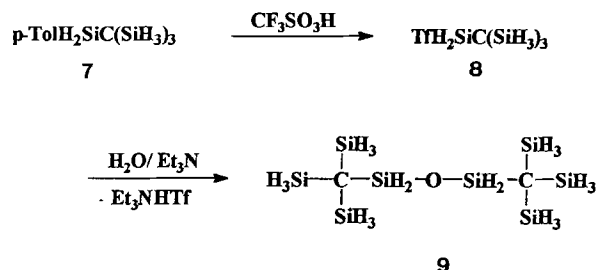
Reddy, V. S., Katti\*, K. V., Barnes, C. L.

Übergangsmetall-Chemie von Hauptgruppen-Element-Hydraziden, 9. – Platin-Komplexe von Diphosphanylhydraziden  $R_2PN(Me)N(Me)PR_2 \cdot PtCl_2$  (R = OPh, *o*-OC<sub>6</sub>H<sub>4</sub>CH<sub>2</sub>CHCH<sub>2</sub>)Transition Metal Chemistry of Main Group Hydrazides, 9. – Platinum Complexes of Diphosphanylhydrazides  $R_2PN(Me)N(Me)PR_2 \cdot PtCl_2$  (R = OPh, *o*-OC<sub>6</sub>H<sub>4</sub>CH<sub>2</sub>CHCH<sub>2</sub>)

R = Ph  
R = *o*-C<sub>6</sub>H<sub>4</sub>(CH<sub>2</sub>CH=CH<sub>2</sub>)

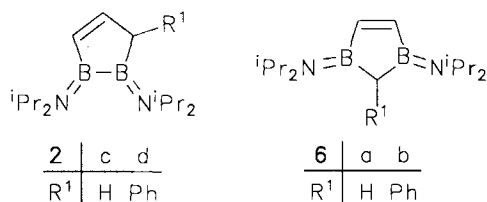
1359

Bommers, S., Schmidbaur\*, H.

Ein Syntheseweg zu 1,3-Bis(trisilylmethyl)disiloxane [(H<sub>3</sub>Si)<sub>3</sub>CSiH<sub>2</sub>]<sub>2</sub>O – dem Octasila-Analogen von Dineopentylether [(H<sub>3</sub>C)<sub>3</sub>CCH<sub>2</sub>]<sub>2</sub>OA Synthetic Pathway to 1,3-Bis(trisilylmethyl)disiloxane [(H<sub>3</sub>Si)<sub>3</sub>CSiH<sub>2</sub>]<sub>2</sub>O – the Octasila Analogue of Dineopentyl Ether [(H<sub>3</sub>C)<sub>3</sub>CCH<sub>2</sub>]<sub>2</sub>O

1363 **Gabbert, G., Pritzkow, H., Kaschke, M., Siebert\*, W.**

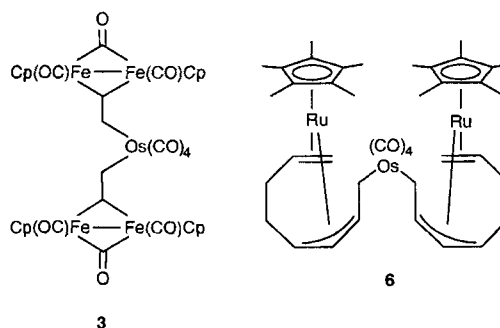
Ein neuer Zugang zu 1,2- und 1,3-Diborol  
A New Approach to 1,2- and 1,3-Diborole



1369 **Hüffer, S., Wieser, M., Polborn, K., Sünkel, K., Beck\*, W.**

Kohlenwasserstoffverbrückte Komplexe, XXX. – Nucleophile Addition von Carbonylmetallaten an kationische Vinyl-, Dien-, Dienyl- und Trien-Komplexe von Eisen, Ruthenium und Cobalt: Zwei-, drei-, vier- und fünfkernige Komplexe mit  $\sigma,\sigma$ - und  $\sigma,\pi$ -Kohlenwasserstoffbrücken

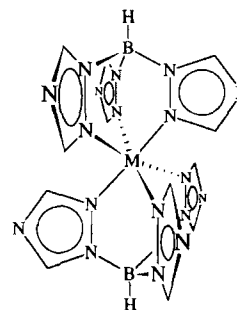
Hydrocarbon-Bridged Complexes, XXX. – Nucleophile Addition of Carbonylmetalates to Cationic Vinyl, Diene, Dienyl and Triene Complexes of Iron, Ruthenium and Cobalt: Di-, Tri-, Tetra- and Pentametallic Complexes with  $\sigma,\sigma$ - and  $\sigma,\pi$ -Hydrocarbon Bridges



1379 **Janiak, C.**

Binäre [Hydrotris(1,2,4-triazolyl)borat]metall-Komplexe  $[M\{HB(C_2H_2N_3)_3\}_2]$  mit  $M = Fe, Co, Cu, Zn$ : Synthese, Charakterisierung, Magnetochemie und Röntgenstruktur von  $[Cu\{HB(C_2H_2N_3)_3\}_2] \cdot 4 CH_3OH$  und  $K[HB(C_2H_2N_3)_3] \cdot 2 H_2O$

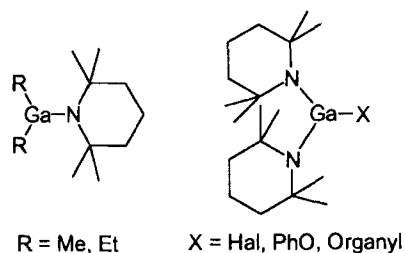
Binary [Hydrotris(1,2,4-triazolyl)borate]metal Complexes  $[M\{HB(C_2H_2N_3)_3\}_2]$  with  $M = Fe, Co, Cu, Zn$ : Synthesis, Characterization, Magnetochemistry, and X-ray Structure of  $[Cu\{HB(C_2H_2N_3)_3\}_2] \cdot 4 CH_3OH$  and  $K[HB(C_2H_2N_3)_3] \cdot 2 (H_2O)$



1387 **Linti\*, G., Frey, R., Polborn, K.**

Zur Chemie des Galliums, IV. – Darstellung und Strukturen monomerer (2,2,6,6-Tetramethylpiperidino)gallane

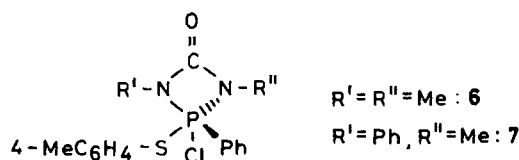
On the Chemistry of Gallium Compounds, IV. – Synthesis and Structure of Monomeric (2,2,6,6-Tetramethylpiperidino)gallanes



1395 **Pinchuk, V. A., Neda, I., Müller, C., Fischer, A., Jones, P. G., Shermolovich, Yu. G., Schmutzler\*, R.**

2-Chlor-2-phenyl-2-(*p*-tolylthio)-1,3-diorgano-1,3,2 $\lambda^5$ -diazaphosphetidin-4-one

2-Chloro-2-phenyl-2-(*p*-tolylthio)-1,3-diorgano-1,3,2 $\lambda^5$ -diazaphosphetidin-4-ones

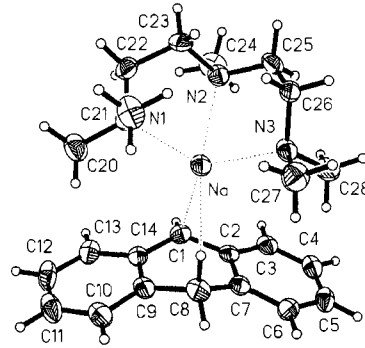


1399

Viebrock, H., Behrens, U., Weiss\*, E.

Über Metallalkyl- und -aryl-Verbindungen, 53. – Synthese und Struktur von [9,10-Dihydroanthracenylsodium(tmeda)]<sub>n</sub> und [9,10-Dihydroanthracenylsodium(pmdta)] (tmeda = Tetramethylethylenediamin, pmdta = Pentamethyldiethylenetriamin)

On Alkyl- and Arylmetal Compounds, 53. – Synthesis and Structure of [9,10-Dihydroanthracenylsodium(tmeda)]<sub>n</sub> and [9,10-Dihydroanthracenylsodium(pmdta)] (tmeda = tetramethylethylenediamine, pmdta = pentamethyldiethylenetriamine)

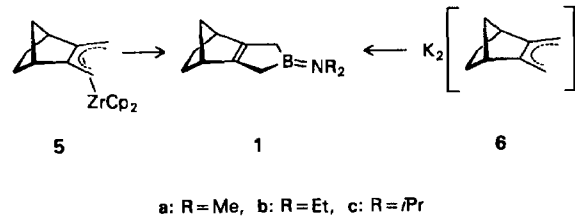


1401

Herberich\*, G. E., Spaniol, T. P., Steffan, U.

3-Borolene mit diastereotopen Seiten: Synthese von 4-(Dialkylamino)-4-boratricyclo[5.2.1.0<sup>2,6</sup>]dec-2(6)-enen und Struktur des Dimethylamino-Derivats

3-Borolenes with Diastereotopic Faces: Synthesis of 4-(Dialkylamino)-4-boratricyclo[5.2.1.0<sup>2,6</sup>]dec-2(6)-enes and Structure of the Dimethylamino Derivative

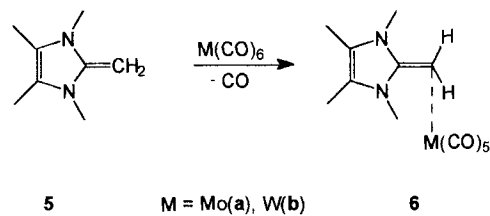


1405

Kuhn\*, N., Bohnen, H., Bläser, D., Boese, R.,

Derivate des Imidazols, XI. – (C<sub>8</sub>H<sub>14</sub>N<sub>2</sub>)M(CO)<sub>5</sub> (M = Mo, W) – Terminale Koordination eines Olefins in Pentacarbonylmetall-Komplexen

Imidazole Derivatives, XI. – (C<sub>8</sub>H<sub>14</sub>N<sub>2</sub>)M(CO)<sub>5</sub> (M = Mo, W) – Terminal Coordination of an Olefin in Pentacarbonyl Metal Complexes



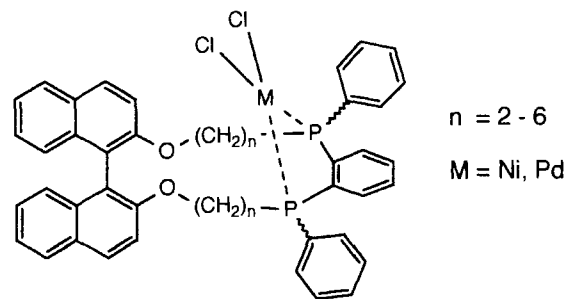
## B

### Teil B: Organische Chemie / Part B: Organic Chemistry

1411

Widhalm\*, M., Klintschar, G.

Synthese und Stereochemie chiraler Makrocyclen, die 1,2-Bis(phenylphosphanyl)benzol-Einheiten enthalten  
Synthesis and Stereochemistry of Chiral Macrocycles Including a 1,2-Bis(phenylphosphanyl)benzene Unit

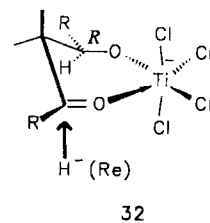


1427

Maier\*, G., Seipp, U., Kalinowski, H.-O., Henrich, M.

Festkörper-<sup>13</sup>C-NMR-Spektroskopie, 1. – Titantetrachlorid-Komplexe von Diketonen: Ihre Bedeutung für Hydrid-Reduktionen und ihre Festkörper-NMR-Spektren

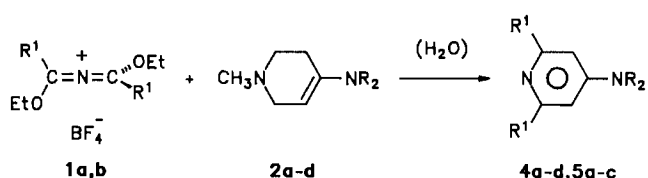
Solid-State <sup>13</sup>C-NMR Spectroscopy, 1. – Titanium Tetrachloride Complexes of Diketones: Their Importance for Hydride Reductions and Their Solid-State NMR Spectra



1437 **Schleimer, R., Würthwein\*, E.-U.**

2,6-Disubstituierte 4-Aminopyridine aus 1,3-Dialkoxy-2-azapropenylum-Salzen und *N*-Methyl-4-piperidon-Enaminen

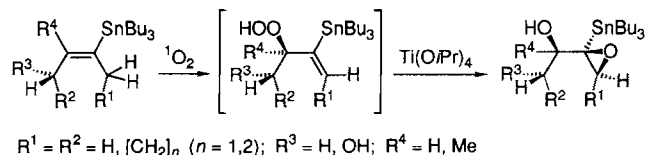
2,6-Disubstituted 4-Aminopyridines from 1,3-Dialkoxy-2-azapropenylum Salts and *N*-Methyl-4-piperidone Enamines



1441 **Adam\*, W., Klug, P.**

Regio- und Diastereoselektive Synthese von Stannyl-epoxyalkoholen durch direkte Hydroxy-Epoxidierung von Vinylstannanen

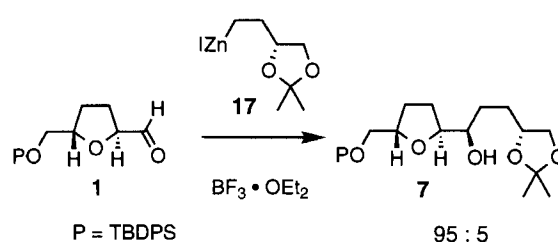
Regio- and Diastereoselective Synthesis of Stannyl Epoxy Alcohols by Direct Hydroxy Epoxidation of Vinylstannanes



1447 **Koert\*, U., Wagner, H., Pidun, U.**

Stereoselektive Additionen chiraler funktionalisierter Organozink-Reagenzien an achirale und chirale Aldehyde: Ein „Matched-Mismatched“-Fall in der Organozink-Chemie

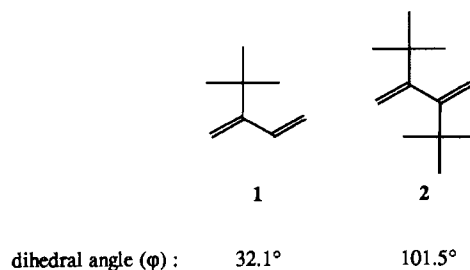
Stereoselective Additions of Chiral, Functionalized Organozinc Reagents to Achiral and Chiral Aldehydes: a Matched-Mismatched Case in Organozinc Chemistry



1459 **Trätteberg, M., Hopf\*, H., Lipka, H., Hänel, R.**

Hochsubstituierte 1,3-Diene, IV. – Eine experimentelle und theoretische Studie über die stereochemischen Eigenschaften von 2-*tert*-Butyl-1,3-butadien und 2,3-Di-*tert*-butyl-1,3-butadien

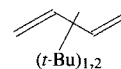
Highly Substituted 1,3-Dienes, IV. – An Experimental and Theoretical Study of the Stereochemical Properties of 2-*tert*-Butyl-1,3-butadiene and 2,3-Di-*tert*-butyl-1,3-butadiene



1469 **Trätteberg, M., Bakken, P., Hopf\*, H., Hänel, R.**

Hochsubstituierte 1,3-Diene, V. – Eine theoretische Studie über die stereochemischen Effekte von *tert*-Butyl-Substituenten an 1,3-Butadien

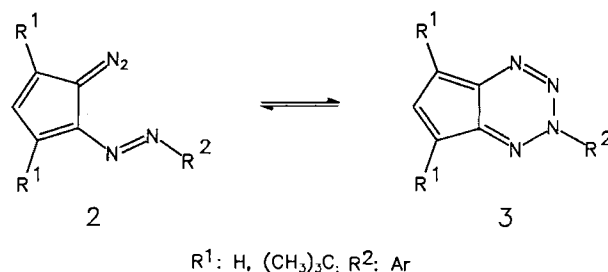
Highly Substituted 1,3-Dienes, V. – A Theoretical Study of the Stereochemical Effects of *tert*-Butyl Substituents in 1,3-Butadiene



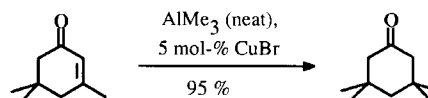
1479 **Mackert, P. J., Hafner\*, K., Nimmerfroh, N., Banert, K.**

Synthese, Struktur und Reaktivität von Cyclopenta-annelierten 1,2,3,4-Tetrazinen

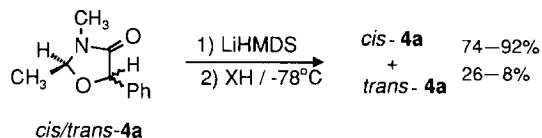
Synthesis, Structure and Reactivity of Cyclopenta-annulated 1,2,3,4-Tetrazines



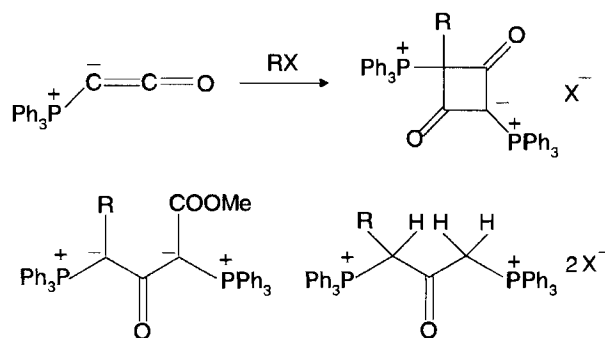
- 1489 Kabbara\*, J., Flemming, S., Nickisch, K., Neh, H., Westermann, J.**  
 Kupfer-katalysierte konjugierte Addition von Trimethylaluminium an  $\alpha,\beta$ -ungesättigte Ketone  
 Copper-Catalyzed Conjugate Addition of Trimethylaluminium to  $\alpha,\beta$ -Unsaturated Ketones



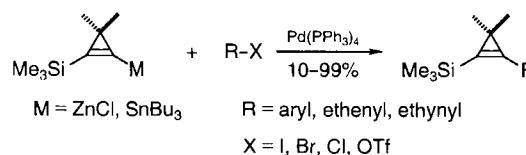
- 1495 Hünig\*, S., Keita, Y., Peters, K., von Schnering, H.-G.**  
 Stereoselektive Protonierung von Carbanionen, 3. – 1,3-Dioxolan-4-one und 1,3-Oxazolidin-4-one: Synthesen und diastereoselektive Protonierung ihrer Anionen  
 Stereoselective Protonation of Carbanions, 3. – 1,3-Dioxolan-4-ones and 1,3-Oxazolidine-4-ones: Syntheses and Diastereoselective Protonation of their Anions



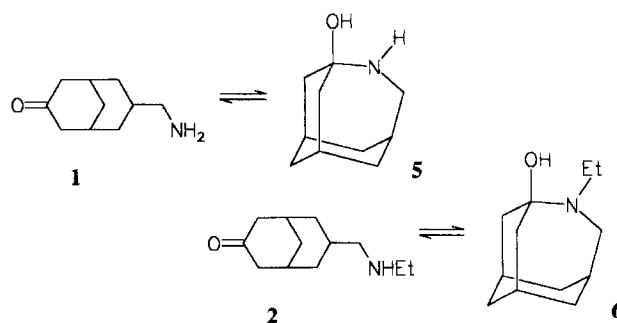
- 1501 Bestmann\*, H. J., Geismann, C., Zimmermann, R.**  
 Kumulierte Ylide, 22. – Umsetzungen von (Triphenylphosphoranyliden)ethanon mit Halogenverbindungen und ihre präparative Anwendung  
 Cumulated Ylides, 22. – Reactions of (Triphenylphosphoranyliden)ethenone with Halogen Compounds and their Preparative Application



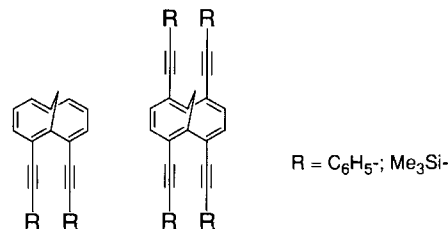
- 1511 Untiedt, S., de Meijere\*, A.**  
 Neue Cyclopropyl-Bausteine für die organische Synthese, 28. – Pd(0)-katalysierte Kupplung von Cyclopropenylzink-chloriden und Cyclopropenylstannanen. – Eine neue effiziente Synthese von 1-Phenyl-, 1-Ethenyl- und 1-Ethynyl-1-cyclopropenen  
 New Cyclopropyl Building Blocks for Organic Synthesis, 28. – Pd(0)-Catalysed Coupling of Cyclopropenylzinc Chlorides and Cyclopropenylstannanes. – A New Efficient Synthesis of 1-Phenyl-, 1-Ethenyl-, and 1-Ethynyl-1-cyclopropenes



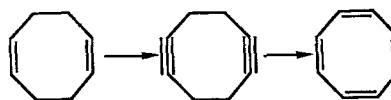
- 1517 Wiesmann, R. F., Rademacher\*, P.**  
 Transanulare Wechselwirkungen in difunktionellen mittleren Ringen, 6. – Spektroskopische Untersuchungen von bicyclischen Aminoketonen  
 Transanular Interactions in Difunctional Medium Rings, 6. – Spectroscopic Investigations of Bicyclic Amino Ketones



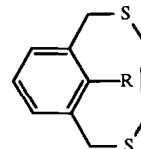
- 1523 Neidlein\*, R., Kux, U.**  
 Neue 1,6-Methano[10]annulen-Derivate mit „parallelen Dreifachbindungen“  
 New 1,6-Methano[10]annulene Derivatives with “Parallel Triplebonds”



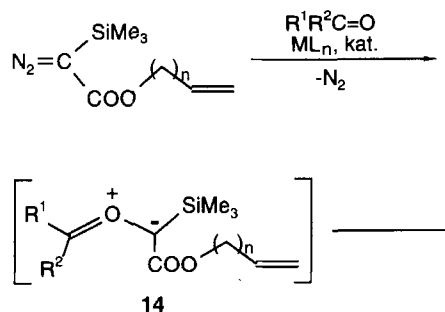
- 1529** Detert, H., Rose, B., Mayer, W., Meier\*, H.  
Herstellung von 1,5-Cyclooctadiin und 1,3,5,7-Cyclooctatetraen aus 1,5-Cyclooctadien  
Preparation of 1,5-Cyclooctadiyne and 1,3,5,7-Cyclooctatetraene from 1,5-Cyclooctadiene



- 1533** Dai, Y., Kolshorn, H., Meier\*, H.  
Dithiametacyclophane mit Dreifachbindungen  
Dithiametacyclophanes with Triple Bonds

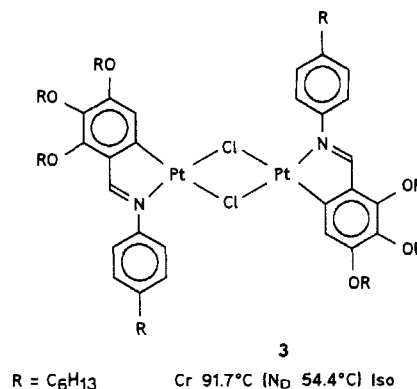


- 1537** Alt, M., Maas\*, G.  
Übergangsmetall-katalysierte Reaktionen von ungesättigten  $\alpha$ -Diazo- $\alpha$ -(trimethylsilyl)essigestern mit Carbonylverbindungen  
Transition Metal Catalyzed Reactions of Unsaturated  $\alpha$ -Diazo- $\alpha$ -(trimethylsilyl)acetates with Carbonyl Compounds

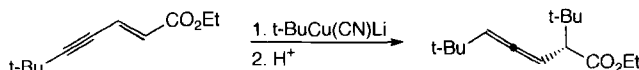


## Notizen / Notes

- 1543** Praefcke\*, K., Bilgin, B., Pickardt, J., Borowski, M.  
Flüssig-kristalline Verbindungen, 86. – Das erste scheibenförmige dinucleare Platin-Mesogen  
Liquid-crystalline Compounds, 86. – The First Disc-Shaped Dinuclear Platinum Mesogen

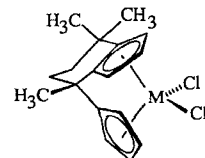


- 1547** Gerold, A., Krause\*, N.  
*anti*-Michael-Addition von Cyanocuprat *t*BuCu(CN)Li an Akzeptor-substituierte Enine  
*anti*-Michael Addition of Cyanocuprate *t*BuCu(CN)Li to Acceptor-Substituted Enynes



## Kurzmitteilung / Short Communication

- 1551** Erker\*, G., Psiorz, C., Krüger, C., Nolte, M.  
Synthese eines neuartigen anellierten C<sub>1</sub>-überbrückten *ansa*-Metallocen-Systems  
Synthesis of a Novel Annulated C<sub>1</sub>-Bridged *ansa*-Metallocene System



6 (a: M = Ti; b: M = Zr)